



INTERNATIONAL ATOMIC ENERGY AGENCY
UNITED NATIONS EDUCATIONAL, SCIENTIFIC AND CULTURAL ORGANIZATION



INTERNATIONAL CENTRE FOR THEORETICAL PHYSICS
34100 TRIESTE (ITALY) - P.O. B. 586 - MIRAMARE - STRADA COSTIERA 11 - TELEPHONES: 224280/233450
CABLE: CENTRATOM - TELEX 460392-1

SMR/112 - 13

IV^e SEMINAIRE SUR L'ENERGIE SOLAIRE

(10 - 21 septembre 1984)

LES PHOTOPILES

M. AVEROUS
Laboratoire d'Infrarouge
Université des Sciences et Techniques
du Languedoc
Place Eugène Bataillon
34060 Montpellier
France

Ces notes sont préliminaires. Vous trouverez les copies qui vous manquent et des supplémentaires au Bureau 231.

Les photopiles

Aspects historiques

Effet photovoltaïque : SMITH (1878)

Photopiles: production d'énergie électrique
par transformation du rayonnement
solaire

1^{re} Photopile:

Bell laboratories

Printemps 1954

rendement $\eta \approx 6\%$

1 habitation alimentée par photopiles

SKylab

1978 → puissance installée : 99 centaines
de Kwatts

1982 → Compagnie Municipale d'Électricité
de Sacramento (Californie)

Centrale photovoltaïque (P.V.) de
100 Mégawatts-crête

Coût investissement moyen : 2700 \$ / kW

Filière Nucléaire : 2000-2500 \$ / kW

Disponibilité de l'énergie Solaire

Energie Solaire incidente

$3 \cdot 10^{18}$ kWh/an

(Rapport MITRE)

Consommation mondiale d'énergie

$6 \cdot 10^{13}$ kWh/an

Surface de photopiles nécessaire ($\eta = 10\%$)

300×1000 km²

(Territoire désertiques)

En France, d'après les courbes d'ensolaillement

1 générateur de 30 m² peut alimenter une famille de 4 personnes.

Formes d'énergie	Procédés de Transformation				
Rayonnement Solaire					
	↓ Végétaux (0.01) ↓	↓ Cellules photo- chimiques (η faible) ↓	↓ Collecteurs Solaire à concentration ↓	↓ ↓	↓ Cellules Photo- voltaïques ↓
Energie chimique					
	↓ Chaudière (0.75) ↓	↓ Piles à combustible ↓	↓ ↓	↓ ↓	
Energie thermique					
	↓ Moteurs thermiques (0.2) ↓		↓ Moteurs thermiques (0.1) ↓	↓ Thermopile Diodes thermo- voltaïques ... etc... (0.6) ↓	
Energie Mécanique					
	↓ générateur (0.9) ↓		↓ générateur (0.9) ↓	↓ ↓	
Energie électrique	0.0015	η très faible	0.05	0.03	0.13

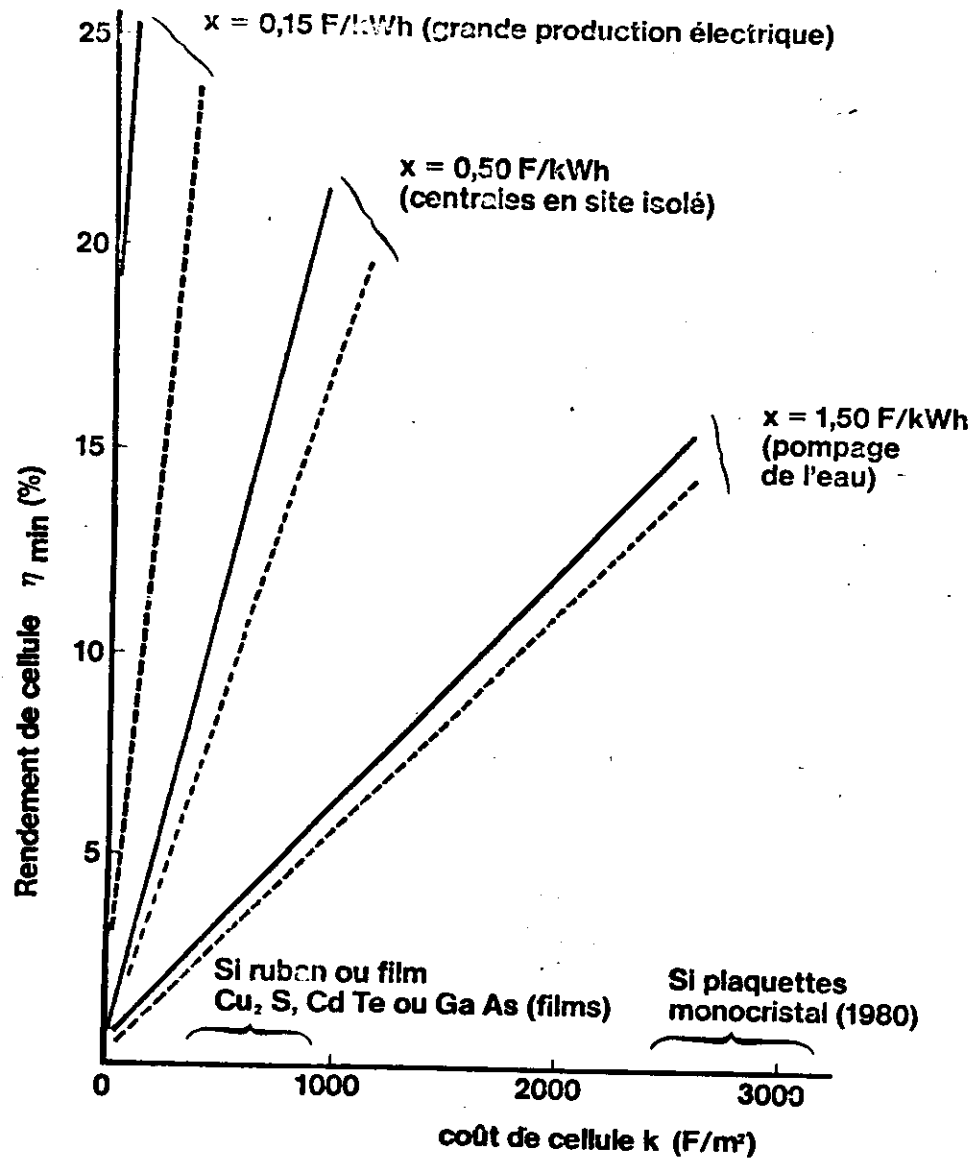
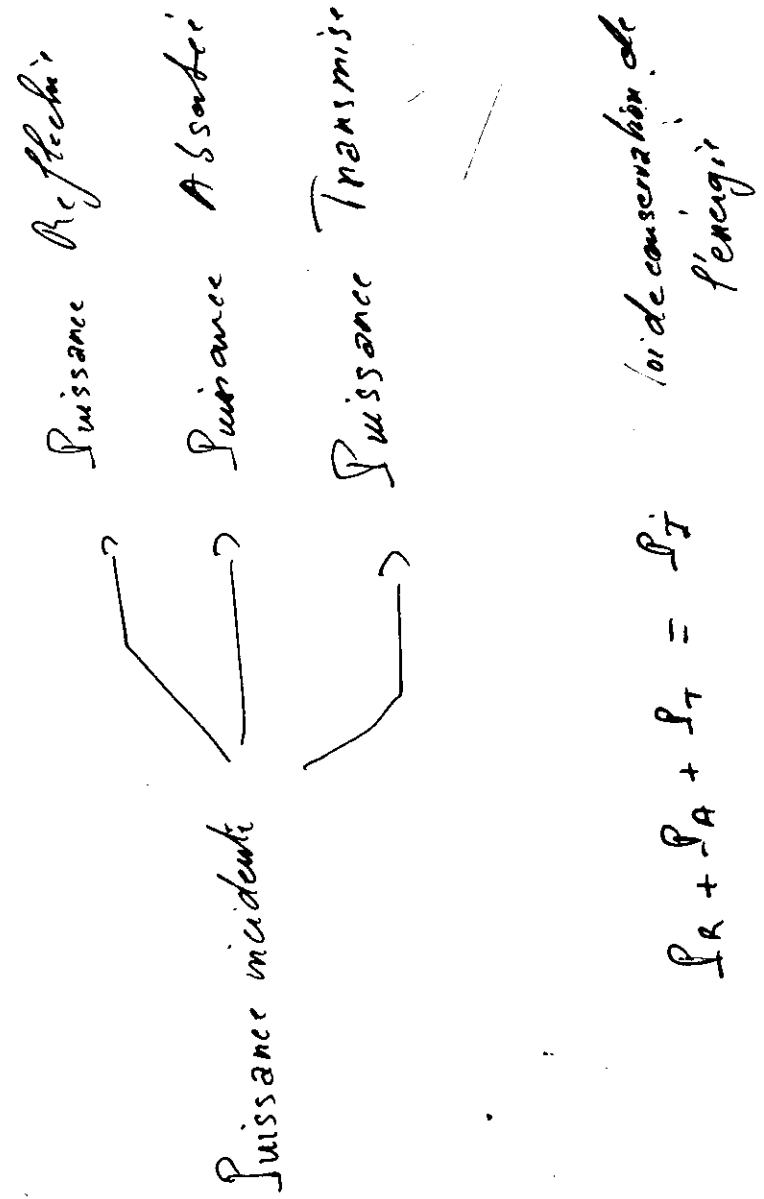
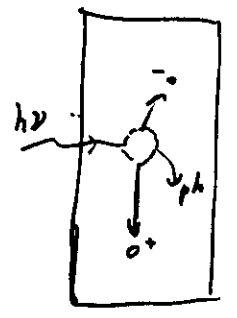
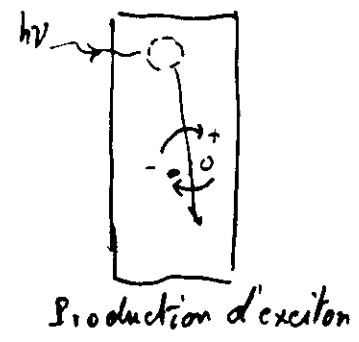
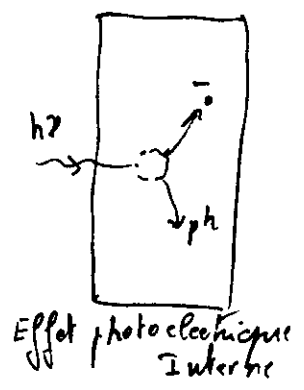
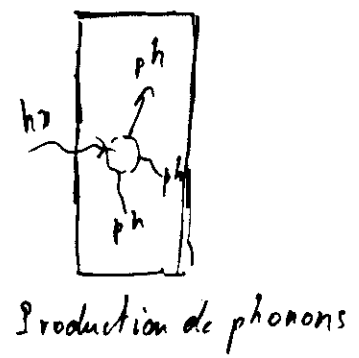
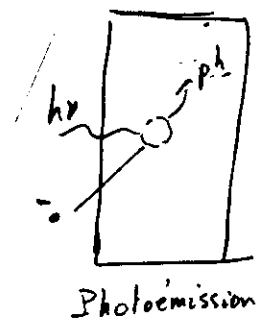
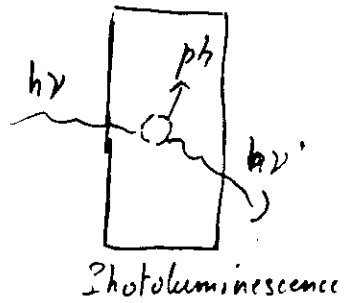


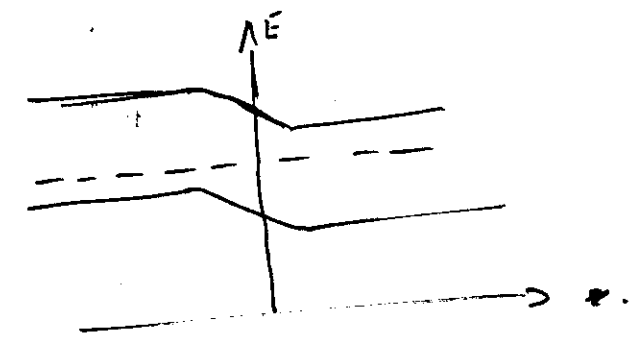
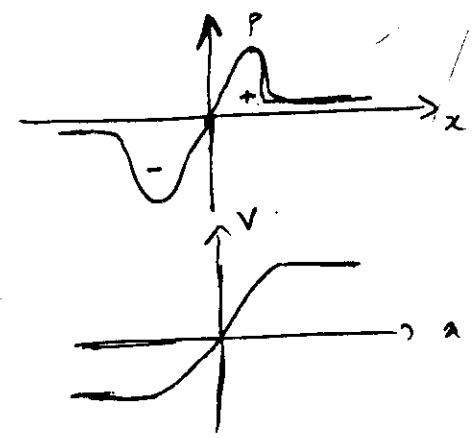
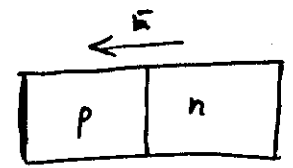
Fig.1



Puissance Absorbée



différents types d'interaction photon - réseau



1-1- Jonction non polarisée

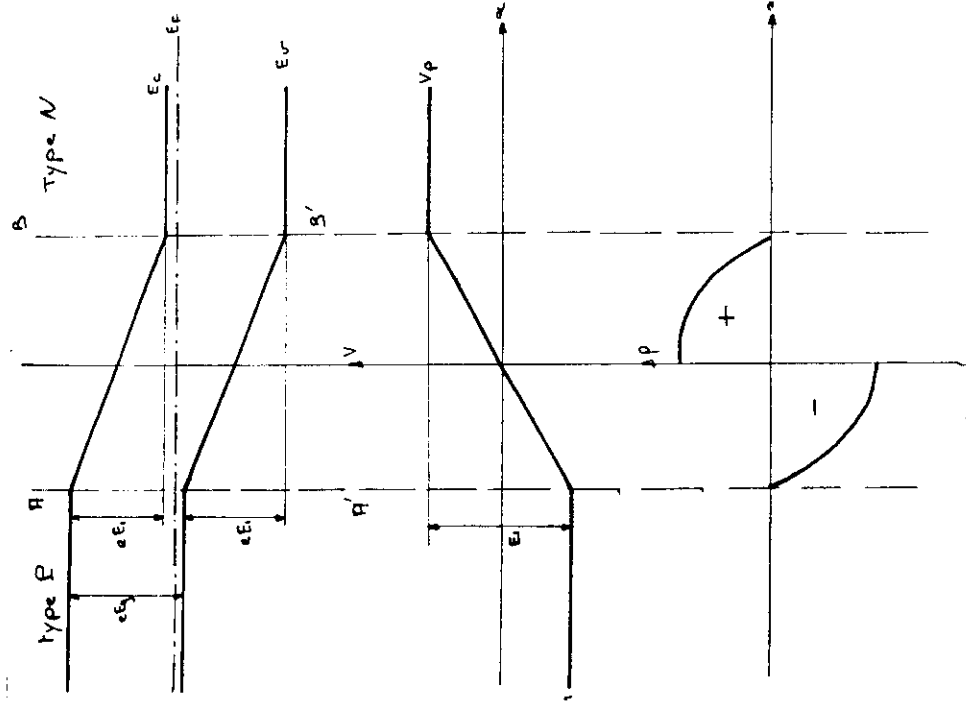
On étudie une jonction P-N non polarisée. La figure (1) représente les courants d'énergie, le potentiel, et la densité de charge au niveau de la jonction.

Pour étudier le bilan des courants dus aux électrons et aux trous, les électrons sont les porteurs minoritaires du côté P. Il y a une barrière de potentiel qui arrive au niveau de la bande de valence E_v du côté P. Mais il y a également le potentiel E_i créé par les charges d'espèce n à la hauteur de la jonction (donneurs localisés du côté N et accepteurs ionisés localisés du côté P) et également le côté P de la jonction. Les trous sont les porteurs majoritaires du côté P. Ils doivent franchir la barrière de potentiel E_i pour aller du côté N. Seule une petite quantité a une énergie supérieure ou égale à $e\phi_i$ atteint le côté N. Il en sera de même pour les électrons et les trous qui vont circuler du côté N au côté P. Les électrons (dans des pannes majoritaires) et les trous, les porteurs minoritaires.

Mais on a :

- I_1 = courant d'électrons du côté p au côté n
- I_2 = courant des trous du côté p au côté n
- I_3 = courant d'électrons du côté n au côté p
- I_4 = courant des trous du côté n au côté p

- n_p = densité d'électrons du côté p
- n_n = densité de trous du côté p
- n_p' = densité d'électrons du côté n
- n_n' = densité de trous du côté n
- I = courant total du côté p à n.



$$I_1 = -e n_p v_{d1}$$

$$I_2 = -e n_n v_{d2}$$

$$I_3 = e n_p' v_{d3}$$

$$I_4 = e n_n' v_{d4}$$

n_p, n_n, n_p', n_n' étant des constantes.

Le courant total est :

$$I = -I_1 + I_2 + I_3 - I_4$$

$$= -e n_p v_{d1} + e n_n v_{d2} + e n_p' v_{d3} - e n_n' v_{d4}$$

Il apparaît que les courants de diffusion dus aux porteurs minoritaires sont équilibrés par les courants de conduction dus aux porteurs majoritaires.

Vous diriez : = 0 donc :

$$(k_1 n_1 + k_2 n_2) = (k_3 n_3' + k_4 n_4') e^{-e\phi_i/kT} \quad (1)$$

1-2- Jonction polarisée

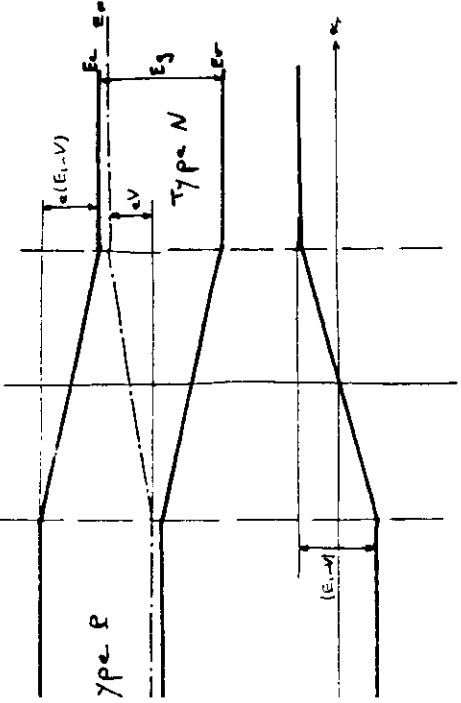
Appliquons une tension positive V du côté P, le côté N étant relié à la masse. Les courants I_1 et I_2 dus aux porteurs minoritaires ne sont pas modifiés. Ils descendent toujours la barrière de potentiel qui est devenue $e(\phi_i - V)$. Cette diminution de potentiel a accru le nombre de porteurs minoritaires arrivant à travers la jonction. En effet, un plus grand nombre possède maintenant une énergie suffisante $e(\phi_i - V)$ pour remonter la barrière de potentiel.

Fig 1. Diode non polarisée

$$I = -q n_1 \mu_p + kT q^2 + (kT)^2 \frac{q^2 p_0}{kT} \quad (2)$$

La figure 2 nous montre les niveaux d'énergie et le potentiel à la barrière de la jonction.

Fig. 2. Diode polarisée en direct



Si la tension appliquée aux bornes de la diode est négative, et assez grande, la barrière de potentiel augmentera et les porteurs majoritaires ne passeront pas une énergie assez grande : $e(E_1 - V)$ pour franchir la barrière de potentiel et leur contribution à la formation du courant sera négligeable. Le courant sera égal à :

$$I = - (K_1 n_1 + kT q) = -I_0 \quad (3)$$

La figure 3 nous représente les niveaux d'énergie et le potentiel à la barrière de la jonction.

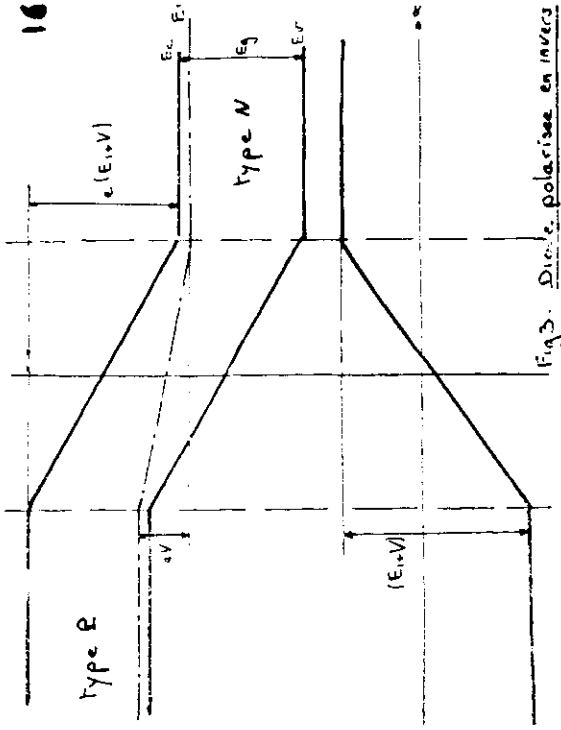


Fig. 3. Diode polarisée en inverse

Le courant I_0 est le courant inverse maximum des porteurs minoritaires qui traversent la jonction (courant de saturation dû à génération et recombinaison). Les équations (1) et (3) portées sous l'équation (2) nous donnent :

$$I = I_0 \left[e^{eV/kT} - 1 \right] \quad (4)$$

C'est l'équation la fonctionnement de la diode. La figure 4 nous montre la caractéristique $I = f(V)$ d'une diode.

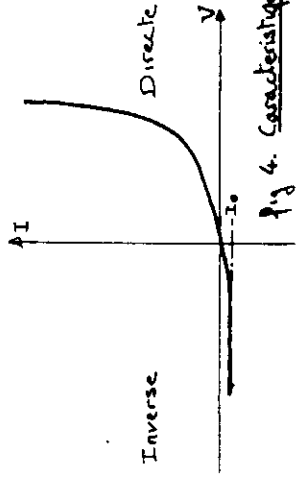


Fig. 4. Caractéristique $I = f(V)$ d'une diode

1-1- Expression du courant inverse -

Le courant inverse est limité par la diffusion. Les vitesses moyennes de diffusion des électrons et des trous sont respectivement égales à D_n/L_n et D_p/L_p .

On obtient le courant :

$$I_0 = q \left[\frac{D_n}{L_n} n_p + \frac{D_p}{L_p} p_n \right] \quad \begin{matrix} n_p \text{ électrons dans P} \\ p_n \text{ trous dans N} \end{matrix}$$

qui s'écrit encore :

$$I_0 = q n_i^2 \left[\frac{D_n}{L_n} \frac{N_a}{N_a} + \frac{D_p}{L_p} \frac{N_d}{N_d} \right]$$

$$I_0 = q N_c \cdot N_v \cdot e^{-\frac{E_g}{kT}} \left[\frac{D_n}{L_n} \frac{1}{n_i} + \frac{D_p}{L_p} \frac{1}{p_i} \right] \quad (5)$$

Le courant inverse est une fonction exponentielle de la bande interdite.

1-2- Énergie d'un photon -

Un rayon de lumière solaire est la superposition d'ondes électromagnétiques de fréquences différentes. C'est aussi un faisceau de photons dont l'énergie est liée à sa longueur d'onde.

Nous avons :

$$E = h \nu$$

$$\text{et } \nu = \frac{c}{\lambda}$$

Si on veut exprimer l'énergie en électrons volt : eV

$$E = eV = \frac{h \nu}{\lambda}$$

$$\text{soit } \nu = \frac{E \cdot \lambda}{h} = \frac{eV \cdot \lambda}{h} \quad \text{volts} \quad (7)$$

λ est le symbole de l'Angstrom = 10^{-10} m, et λ est la longueur d'onde en Angstrom.

La constante 1240 représente la longueur d'onde d'un photon qui a une énergie de 1eV.

ϕ est l'intensité du faisceau lumineux en Watts/m². N est le nombre de photons dont l'énergie totale est ϕ joules.

Pour un faisceau monochromatique

$$N = \frac{\phi}{h \nu} = \frac{\phi \lambda}{1240} = 5,64 \cdot 10^{-14} \phi [\lambda] \quad \text{photons-Å}$$

1-3- Effet photovoltaïque -

1-3-1- Analyse du phénomène -

L'effet photovoltaïque permet la conversion de l'énergie lumineuse en énergie électrique. Il se définit comme l'apparition d'une différence de potentiel dans un semiconducteur éclairé.

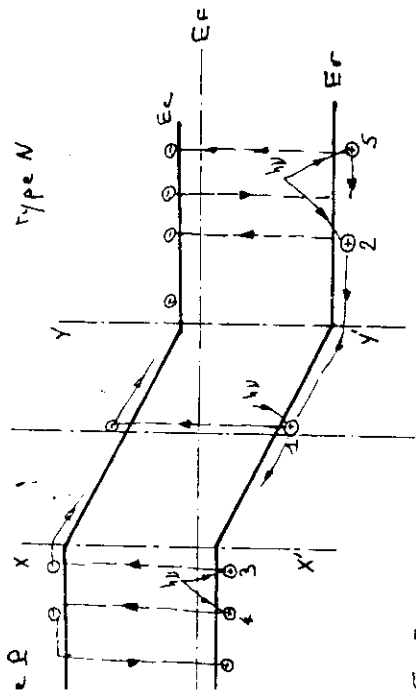


Fig. 5. Mécanisme physique de production du courant photovoltaïque

Soit la figure n° 5 qui représente une jonction p-n recevant un rayon lumineux d'énergie suffisante $h\nu > E_g$. Un photon peut entrer en collision avec un électron libre, un électron de la bande de valence ou un trou et lui céder son énergie. Vu la densité de porteurs majoritaires $[10^{20}/m^3]$ pour les semi-conducteurs fortement dopés qui est environ $1/10$ 000 de celle des électrons de valence, la probabilité de collision d'un photon avec un électron de valence sera fortement prédominante.

Quand un photon entre en collision avec un électron de la bande de valence et lui cède une énergie égale ou supérieure à E_g , l'électron est extrait de la bande de valence et tombe dans la bande de conduction laissant un trou derrière lui.

Le phénomène de création de paire (électron-trou) a lieu en différents points de la jonction.

Si on a une jonction p-n, les sections à droite et à gauche de la jonction se déplacent de potentiel différent. Les électrons se déplacent vers le côté n et les trous vers le côté p. On a ainsi un courant de charge positive au côté n et négatif au côté p.

Si la paire électron-trou est générée du côté n, n° 3 de la figure, et que le photon minoritaire (trou) se dirige vers la jonction et la traverse, il y a encore transfert de charge positive du côté n au côté p, l'énergie de la particule minoritaire est un obstacle supplémentaire pour franchir la barrière de potentiel.

Si la paire électron-trou est créée du côté p, n° 3 de la figure, et que l'électron se dirige vers la jonction, il attrape le côté n et à nouveau il y a transfert de charge positive du côté n au côté p.

Les particules minoritaires ainsi créées peuvent aussi s'échapper de la jonction et se recombiner avec un porteur majoritaire, n° 4 et 5 de la figure.

Les porteurs minoritaires sont la principale composante du courant photovoltaïque. Les porteurs majoritaires sont peu nombreux à franchir la barrière de potentiel. Leur contribution à la formation du courant est faible.

La distance de la particule minoritaire photocréée à la jonction se mesure en longueur de diffusion L_d . Elle représente la distance moyenne de parcours d'un porteur minoritaire avant sa recombinaison avec une particule majoritaire. La longueur de diffusion représente donc la distance en dessous de laquelle un photon absorbé a une forte probabilité de se convertir en courant électrique à travers la jonction. Les valeurs de L_d varient de 10^{-4} à 10^{-6} m.

I-32- Caractéristique d'une cellule photovoltaïque

On court-circuite les deux bornes d'une cellule photovoltaïque.

La diffusion à travers la jonction des particules minoritaires photocréées produit le courant de court-circuit I_{CC} . Pour un faisceau lumineux monochromatique I_{CC} est proportionnel à l'intensité lumineuse.

Bien que les courants, I_1, I_2, I_3, I_4 définis précédemment existent leur contribution au courant photovoltaïque est nulle.

Si nous disposons une résistance aux bornes de la jonction il apparaît une tension V sur cette charge. Cette tension correspond à une polarisation directe et diminue la barrière de potentiel au niveau de la jonction. Un plus grand nombre de particules majoritaires traversent la jonction. I_2 et I_3 augmentent alors que les courants de minoritaires I_1, I_4, I_{CC} ne sont pas modifiés. Ils descendent toujours la barrière de potentiel.

Le courant est égal à

$$I_L = I_{CC} + I_1 + I_4 - I_2 - I_3$$

soit

$$I_L = I_{CC} - I_0 \left[e^{\frac{eV}{kT}} - 1 \right] \tag{9}$$

Cette équation nous permet de donner le schéma équivalent de la cellule photovoltaïque (fig. 6). Un générateur de courant égal à I_{CC} , en parallèle avec une diode qui malheureusement laisse passer le courant photovoltaïque.

La caractéristique $I = f[V]$ est représentée pour plusieurs intensités lumineuses (fig. 7). Nous voyons que le courant photovoltaïque est proportionnel à l'intensité lumineuse.

I-33- Tension en circuit ouvert v_o

Avec le courant de charge $I_L = 0$, l'équation (9) devient :

$$I_{CC} = I_0 (e^{\frac{eV}{kT}} - 1)$$

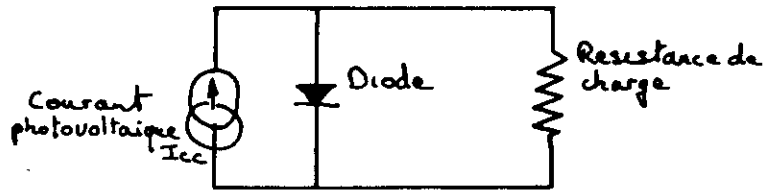


Fig 6 schema equivalent d'une cellule photovoltaïque

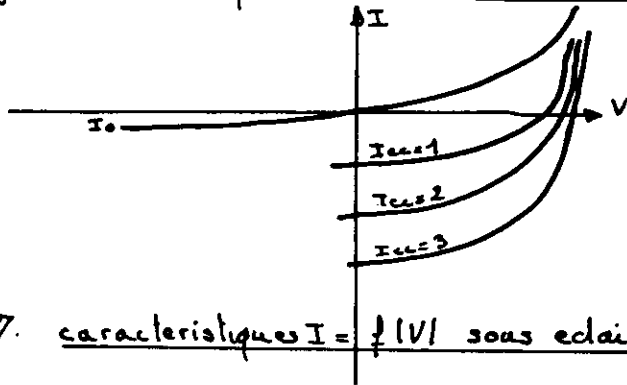


Fig 7. caracteristiques I = f(V) sous eclairement [2]

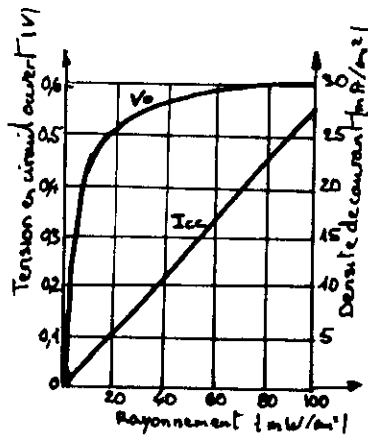


Fig 8 Variation de la tension en circuit ouvert et du courant de court-circuit en fonction de l'intensité lumineuse [2]

Soit $\frac{eV_0}{kT} = \lg \left[\frac{I_{CC}}{I_0} + 1 \right]$ $V_0 = V_T \cdot \lg \left[\frac{I_{CC}}{I_0} + 1 \right]$ (10)

avec $V_T = \frac{kT}{e}$ est le potentiel thermique.

Si T reste constant V_0 croît comme le logarithme de I_{CC} comme nous le montre la figure (8).

I 3.4 Rendement optimum et puissance maximum -

L'énergie arrivant sous forme d'un faisceau lumineux indépendant des conditions de sortie, le point de fonctionnement qui donne la puissance maxi. sera le même que celui qui donne le rendement maxi.

Pour une tension V, le courant est donné par (9). On obtient une puissance égale à :

$$P = V \left[I_{CC} - I_0 \left(e^{V/V_T} - 1 \right) \right]$$
 (11)

En annulant la dérivée on obtient la maximum de puissance.

$$0 = I_{CC} - I_0 \left[e^{V/V_T} - 1 \right] - \frac{VI_0}{V_T} e^{V/V_T}$$

soit $e^{V/V_T} \left[\frac{V_m}{V_T} + 1 \right] = \left[\frac{I_{CC}}{I_0} + 1 \right]$ (12)

Ceci est l'équation implicite donnant la valeur de la tension V_m à la puissance maximum.

Le courant correspondant est :

$$I_m = \frac{I_{CC} + I_0}{1 + \frac{V_m}{V_T}} \cdot \frac{V_m}{V_T}$$
 (13)

La figure (9) nous donne trois rapports :

$$\frac{V_m}{V_0}, \frac{I_m}{I_{CC}} \text{ et } \frac{P_m}{V_0 \cdot I_{CC}}$$

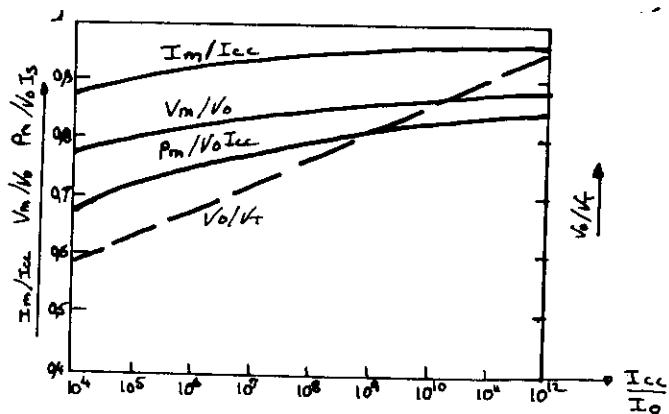


Fig 9. Puissance Fournie maxi et point de fonctionnement optimum [2]

V_m , I_m , P_m représentent la tension, le courant et la puissance fournis à la charge au point de fonctionnement correspondant à la puissance maxi.

Le rapport entre la puissance maxi. $V_m I_m$ et le produit $V_o \cdot I_{CC}$ s'appelle le facteur de courbe ou facteur de remplissage.

$$F.C. = \frac{V_m \cdot I_m}{V_o \cdot I_{CC}} \quad (14)$$

La courbure des caractéristiques $I = f[V]$ nous permet de fournir beaucoup de puissance à la charge. Pour une même tension en circuit ouvert V_o et un même courant de court circuit I_{CC} les caractéristiques incurvées de la figure 7 nous donnent 2 à 3 fois plus de puissance que si elles étaient linéaires.

I 3.5 Rendement de conversion -

Le rendement de conversion est défini

$$\eta = \frac{VI}{N_e E_{ph}} \quad (15)$$

VI = puissance fournir à la charge

E_{ph} est l'énergie moyenne des photons en eV

N est le nombre de photons par seconde.

Le produit $N_e E_{ph}$ représente la puissance lumineuse incidente.

Posons :

K_1 = fraction de photons incidents qui traversent la surface du cristal

K_2 = fraction de photons qui libèrent un électron de valence tel que les porteurs minoritaires traversent la jonction.

On obtient :

$$I_{CC} = e N K_1 K_2$$

$$\text{soit } \eta = k_1 k_2 \cdot \frac{V I}{E_{ph} I_{CC}} \quad (16)$$

Finalement nous obtenons

$$\eta_m = k_1 k_2 \cdot \frac{V_m}{V_m + V_T} \cdot \frac{V_m}{E_{ph}} \quad (16)$$

Cette équation montre que le rendement de conversion est égal au produit de 4 rapports, tous inférieurs à l'unité.

La température intervient sur le fonctionnement de la cellule photovoltaïque : le rendement diminue lorsque la température augmente. En effet, le niveau de Fermi se déplace vers le centre de la bande interdite quand la température s'élève. Ceci amène une diminution de E_1 ainsi que de la tension disponible en sortie. De même I_0 croît avec la température. Ces deux considérations entraînent bien une diminution du rendement.

La figure 10, nous montre le rendement d'une cellule solaire en fonction du saut d'énergie pour différentes températures.

I-3-6 Pertes de puissance - [B]

1 - Réflexion en surface.

2 - Variation du coefficient d'absorption en fonction de l'énergie à deux conséquences.

a) seuls les photons ayant une énergie $h\nu$ égale ou supérieure à celle requise pour créer une paire électron-trou ($h\nu > E_g$) sont absorbés par la pile (on néglige l'absorption par porteurs libres). La partie exploitable du spectre solaire dépend du semiconducteur.

b) Etant donné la valeur finie du coefficient d'absorption d'une part, l'épaisseur réduite de la pile d'autre part, certains photons capables de créer des paires électron-trou traversent la pile sans être absorbés. Cette perte d'absorption devient importante pour des longueurs d'onde proche du gap.

3 - Les paires électron-trou sont créées dans le volume de la pile, pour contribuer à la puissance recueillie les porteurs minoritaires doivent diffuser jusqu'à la jonction. A cause de longueur de diffusion des porteurs minoritaires, tous les porteurs photocréés ne sont pas collectés.

4 - A priori, V_{CO} peut atteindre E_g/q , mais en pratique, on a $V_{CO} < E_g/q$.

5 - Par suite, de la nature exponentielle de la caractéristique théorique, la tension de la pile fonctionnant au point de puissance maximale est inférieure à la tension en circuit ouvert. De même le courant correspondant à ce point est inférieur au courant de court-circuit.

Malheureusement, il existe dans une pile réelle d'autres mécanismes de pertes de puissance qui en principe peuvent être éliminés mais en pratique sont imposés par la technologie.

1/ Recombinaison des porteurs par l'intermédiaire d'états de surface.

2/ Recombinaison au niveau du contact ohmique arrière.

Recombinaison des porteurs dans le volume :

γ compris la zone de charge d'espace.

I-3-7 Spectre solaire -

La figure 11 nous montre le spectre solaire ainsi que la part du spectre solaire utilisée pour la génération de paire électron-trou pour des matériaux de différentes bandes interdites. Nous remarquons que plus la largeur de bande interdite est petite, plus l'énergie perdue près de la crête du spectre est grande.

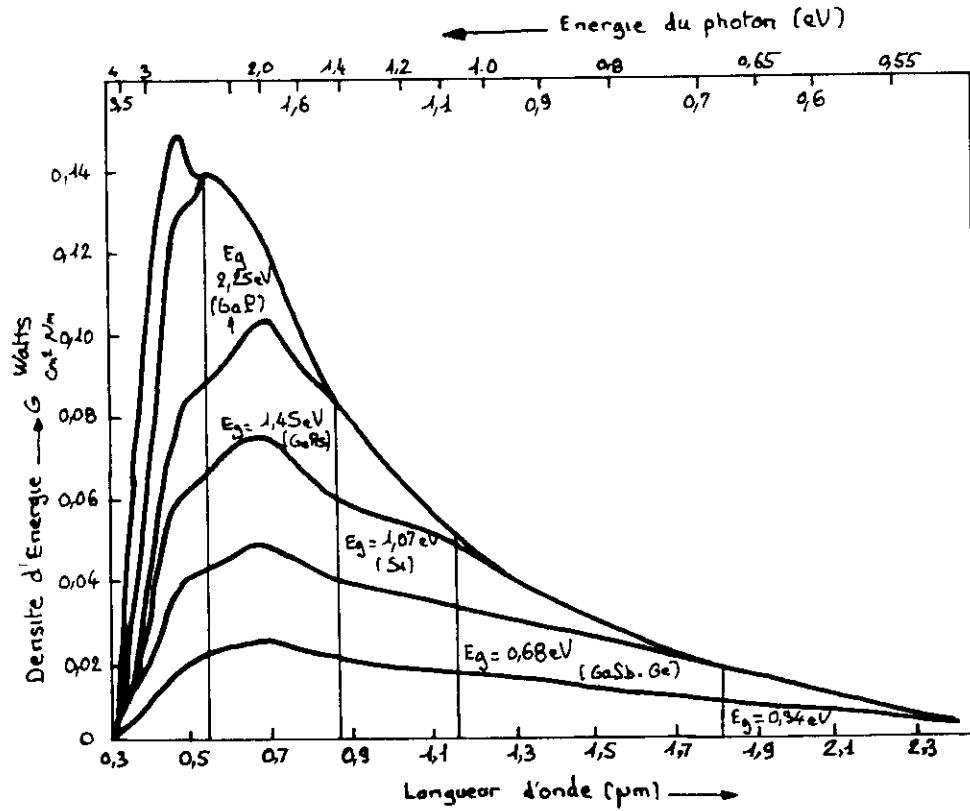


Fig n° 11. Spectre solaire [16]

La figure n° 12 nous montre la puissance maximale convertie en fonction du gap E_g du semiconducteur.

Cette figure nous montre que gap optimum se situe aux environs de 1,4 eV;

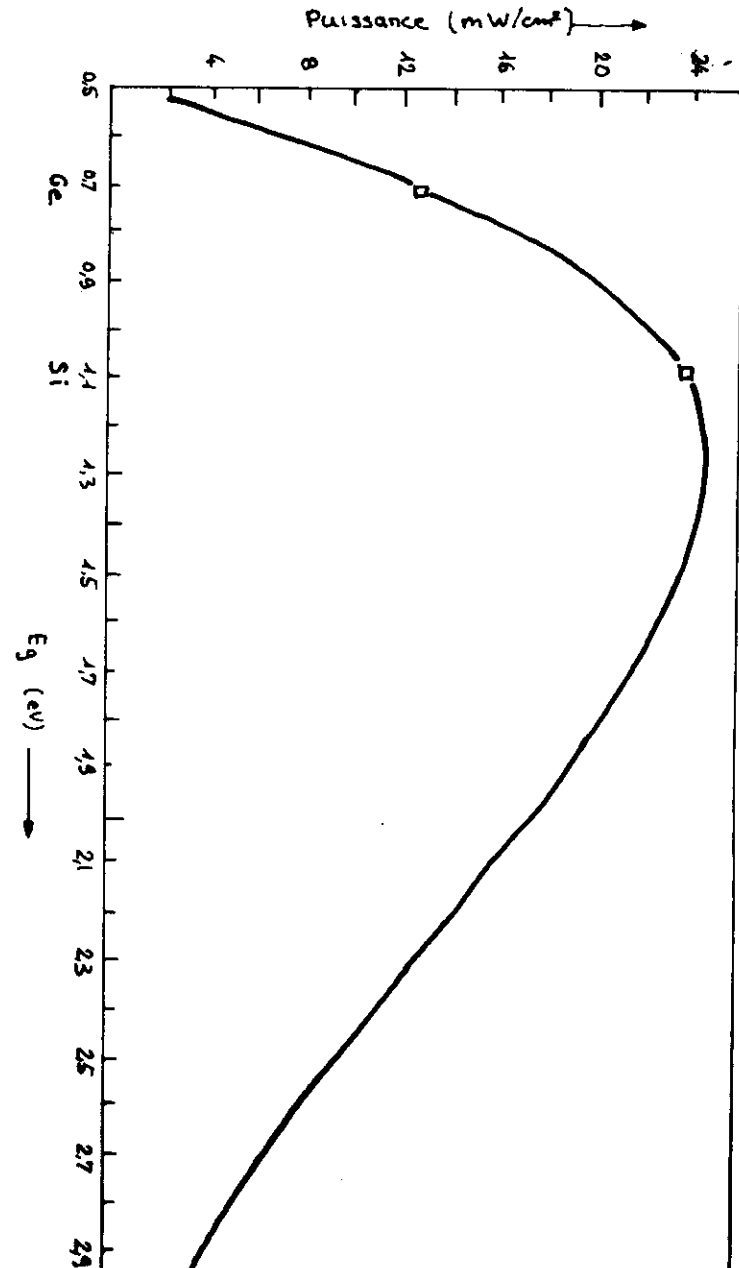


Fig 12 Puissance maximale convertie en fonction du "gap" E_g du semiconducteur

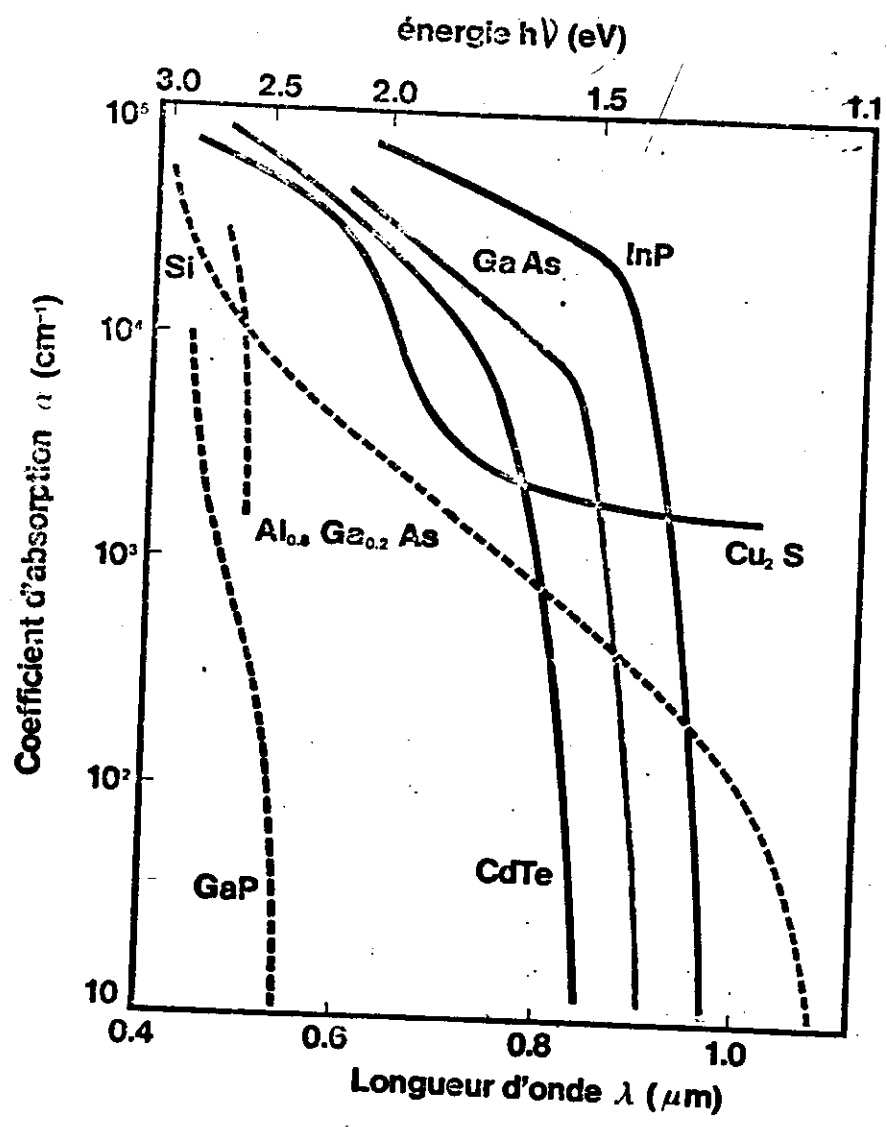
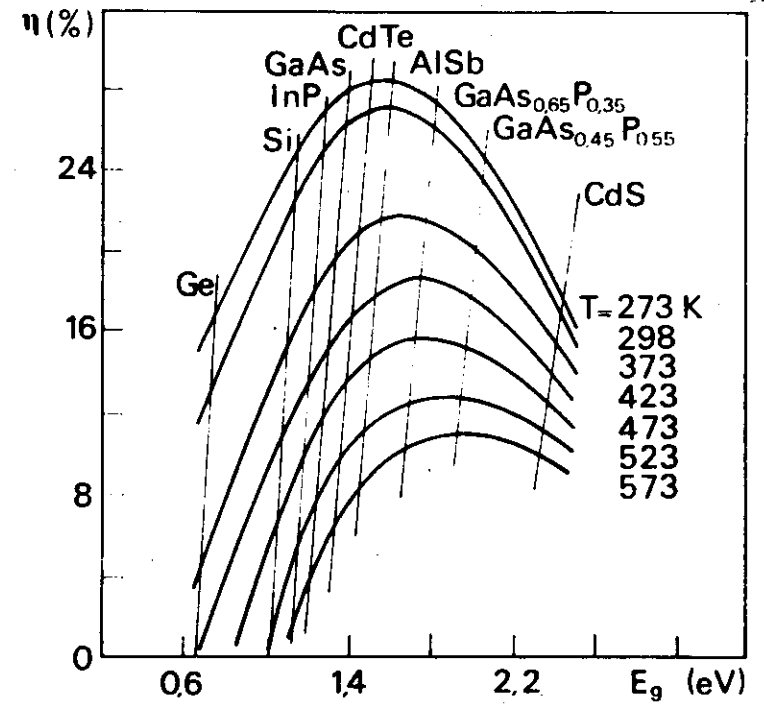
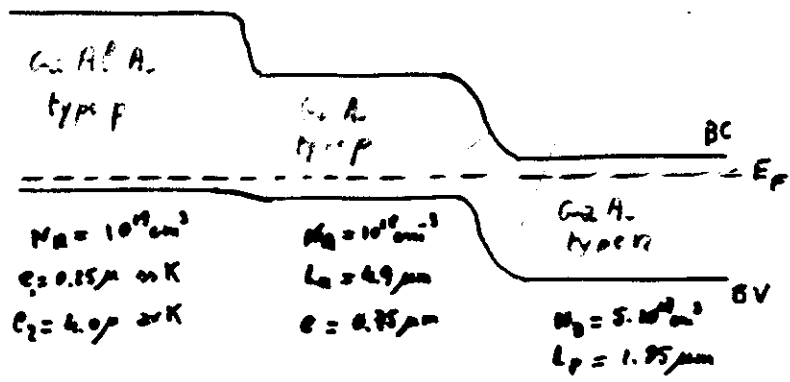


Fig. 13

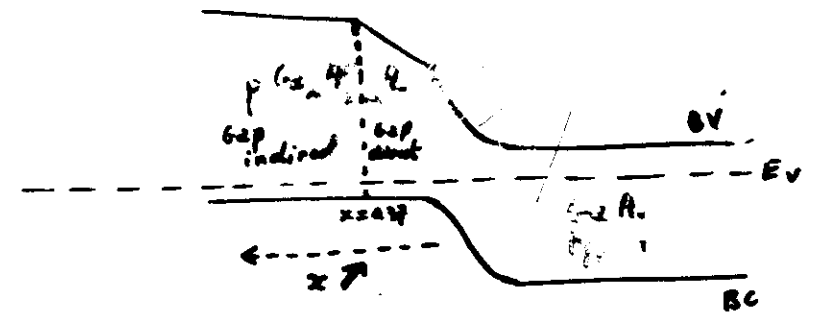


Rendement théorique d'une cellule solaire en fonction de la température et de la largeur de bande interdite du semiconducteur. (cas de jonctions P-N idéales) [1b].

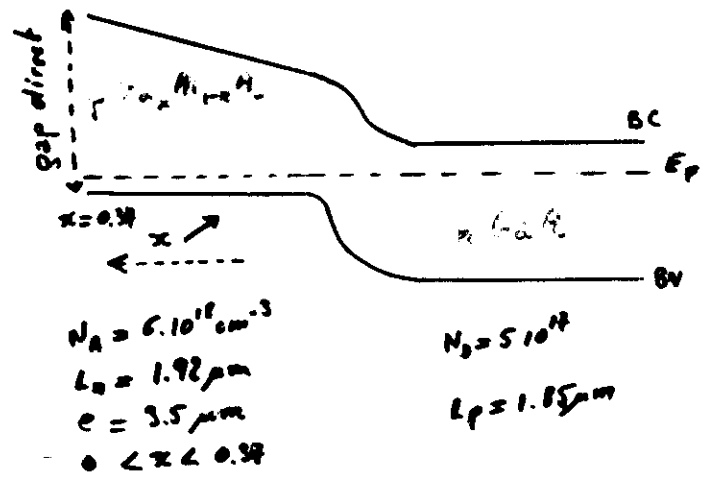
Fig. 14



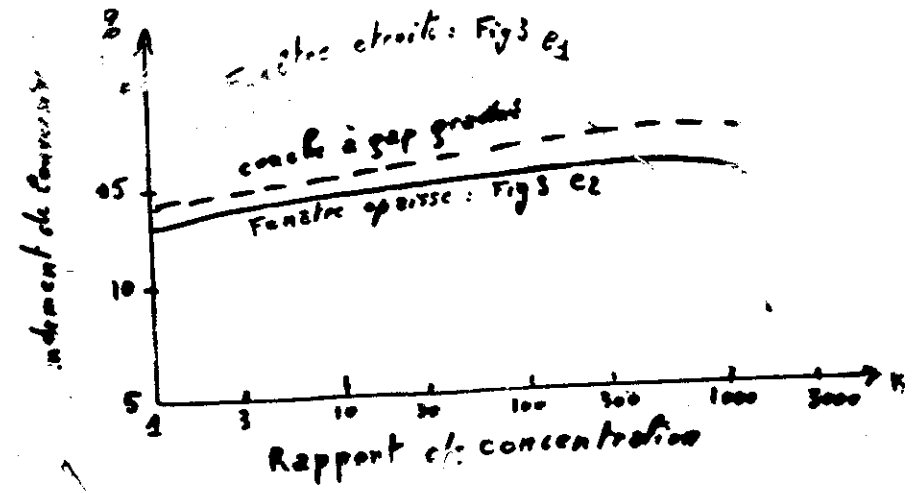
- Fig 3 -



- Fig 5 -



- Fig 4 -



? Fig 6 -

Ref: J.W. BRIDGES, R. DAVIS, B.T. DEBNEY and R.W. KERN
 Photoconductive Energy Conference Luxembourg Sep '77

